

EL NIÑO/OSCILACIÓN DEL SUR (ENSO por sus siglas en inglés) DISCUSIÓN DIAGNÓSTICA

Emitida por el

CENTRO DE PREDICCIONES CLIMÁTICAS/NCEP/NWS
y el Instituto Internacional de Investigación para el Clima y la Sociedad
Traducción cortesía del: NWS-WFO SAN JUAN, PUERTO RICO
9 de marzo de 2017

Estatus del Sistema de alerta del ENSO: Inactivo

Sinopsis: Se favorecen las condiciones ENSO-Neutral hasta por lo menos la primavera 2017 del Hemisferio Norte, aumentando las probabilidades de desarrollo de El Niño hasta otoño.

Condiciones de ENSO-neutral continuaron durante el mes de febrero, con temperaturas en la superficie del mar (SSTs, por sus siglas en inglés) a través del Pacífico ecuatorial y SSTs sobre el promedio en el este del Pacífico (Figura 1). Los valores semanales más recientes del índice de El Niño estuvieron cerca de cero en las regiones del Niño-4 y Niño-3.4, y +0.4 y +2.2°C más hacia el este en las regiones del Niño-3 y Niño-1+2, respectivamente (Figura 2). La anomalía del contenido calórico en la superficie del océano aumentó durante febrero y estuvo levemente positivo al promediar a través del Pacífico central y oriental (Figura 3), una reflexión de temperaturas generalmente sobre el promedio a cierta profundidad (Figura 4). La convección atmosférica permaneció suprimida sobre el Pacífico central tropical e incrementada sobre el Continente Marítimo (Figura 5). Los vientos del este en los niveles bajos aumentaron levemente sobre el oeste del Pacífico tropical y fueron más débiles que el promedio sobre el este del Pacífico. Además, los vientos del oeste en los niveles más altos estuvieron atípicamente del este sobre sectores del oeste y este del Pacífico. En general, el sistema de océano y atmósfera es consistente con condiciones de ENSO-neutral.

La mayoría de los modelos predice la continuación de ENSO-neutral (índice promedio de un período de 3 meses en región Niño-3.4 entre -0.5°C y 0.5°C) hasta principios del verano en el Hemisferio Norte (mayo-julio; Figura 6). Sin embargo, algunos pronósticos de modelos dinámicos, incluyendo NCEP CFSv2, anticipan un resultado de El Niño tan temprano como a finales de la primavera del Hemisferio Norte (marzo-mayo 2017). Debido a la habilidad típicamente más baja en los pronósticos hechos en esta época del año, y los patrones de convección de La Niña-tropical, el consenso de los pronosticadores favorece el ENSO-neutral durante la primavera (marzo-mayo) con una probabilidad de ~75%. Luego, existe un aumento en las probabilidades de el Niño hacia la segunda mitad del 2017 (50-55% probabilidad desde aproximadamente julio-diciembre). En resumen, se favorecen las condiciones de ENSO-neutral hasta por lo menos primavera 2017 del Hemisferio Norte, con aumento en las probabilidades de desarrollo de El Niño hacia el otoño (oprima [pronóstico de consenso CPC/IRI](#) para la probabilidad de cada resultado por cada período de 3-meses).

Esta discusión es un esfuerzo consolidado de la Administración Nacional Oceánica y Atmosférica (NOAA, por sus siglas en inglés), el Servicio Nacional de Meteorología de NOAA y sus instituciones afiliadas. Las condiciones oceánicas y atmosféricas son actualizadas semanalmente en la página de Internet del Centro de Predicciones Climáticas ([Condiciones actuales de El Niño/La Niña y La Discusión de Expertos](#)). De igual manera, los pronósticos son actualizados mensualmente en la sección [Foro de Pronóstico](#) del Boletín de Diagnóstico Climático del Centro de Predicciones Climáticas (CPC, por sus siglas en inglés). Perspectivas y

análisis adicionales están disponibles en el [blog del ENSO](#). La próxima Discusión Diagnóstica del ENSO está programada para el 13 de abril de 2017. Para recibir una notificación por e-mail al momento en que la Discusión Diagnóstica del ENSO mensual esté disponible, favor enviar un mensaje a: ncep.list.ens-update@noaa.gov.

Centro de Predicciones Climáticas
Centros Nacionales de Predicción Ambiental
NOAA / Servicio Nacional de Meteorología
College Park, MD 20740

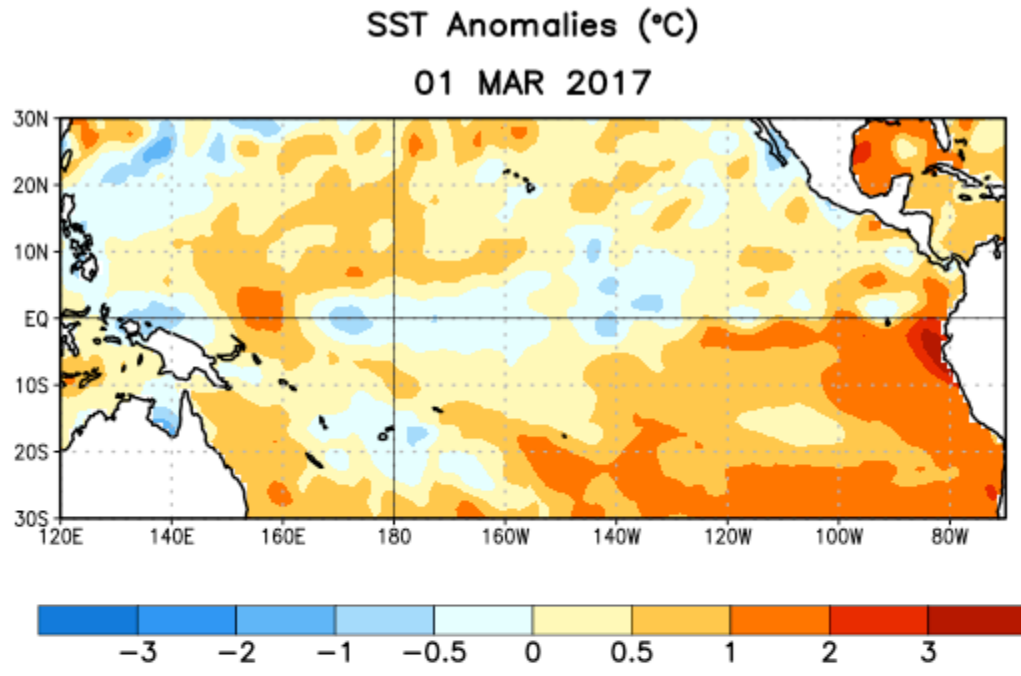


Figura 1. Anomalías (°C) promedio de la temperatura de la superficie del océano (SST, por sus siglas en inglés) para la semana centrada el 1 de marzo de 2017. Las anomalías son calculadas utilizando como referencia los periodos promedio semanales de 1981-2010.

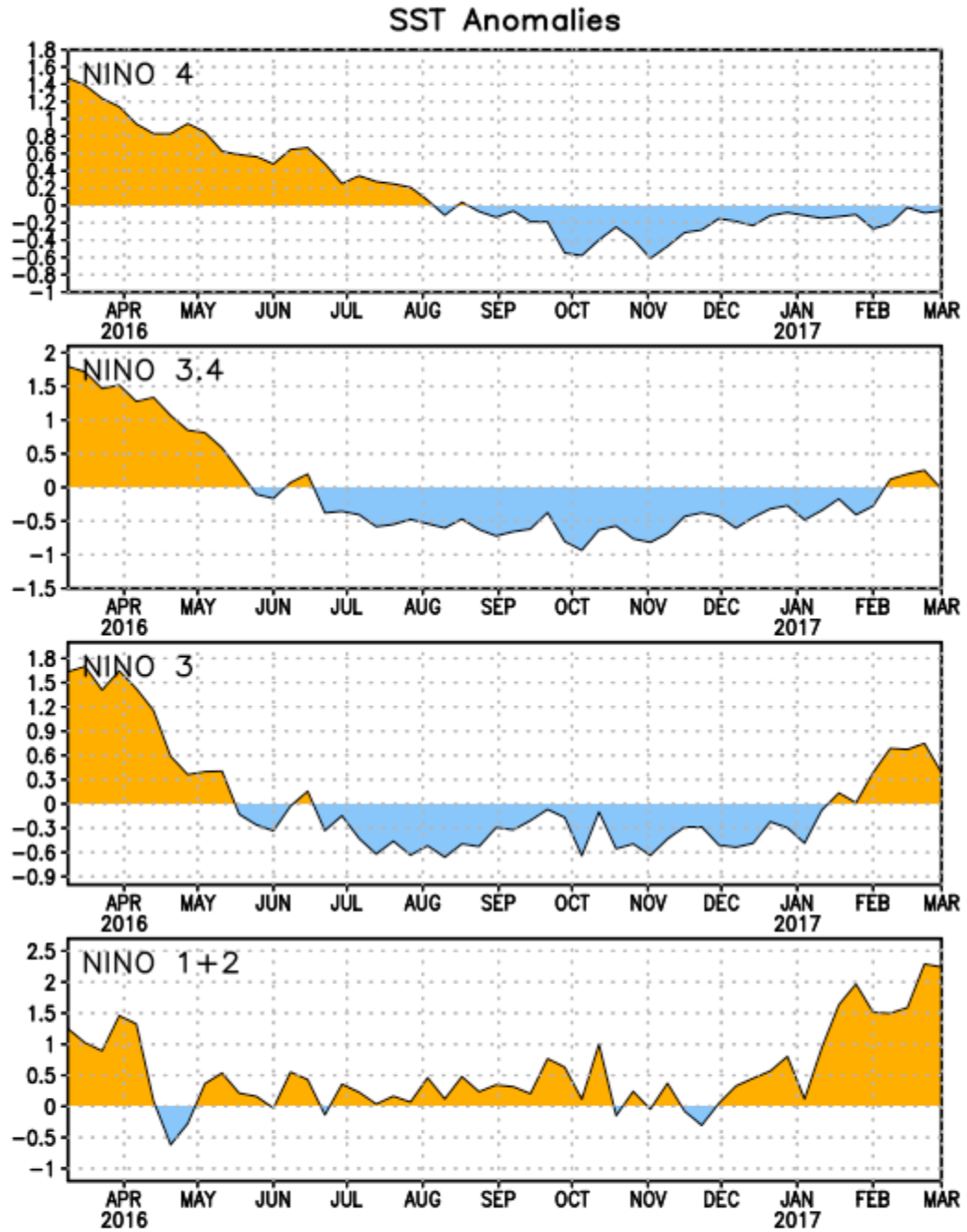


Figura 2. Series de Tiempo de las anomalías (en °C) de temperaturas de la superficie del océano (SST) en un área promediada en las regiones de El Niño [Niño-1+2 (0°-10°S, 90°W-80°W), Niño 3 (5°N-5°S, 150°W-90°W), Niño-3.4 (5°N-5°S, 170°W-120°W), Niño-4 (150°W-160°E y 5°N-5°S)]. Las anomalías de SST son variaciones de los promedios semanales del período base de 1981-2010.

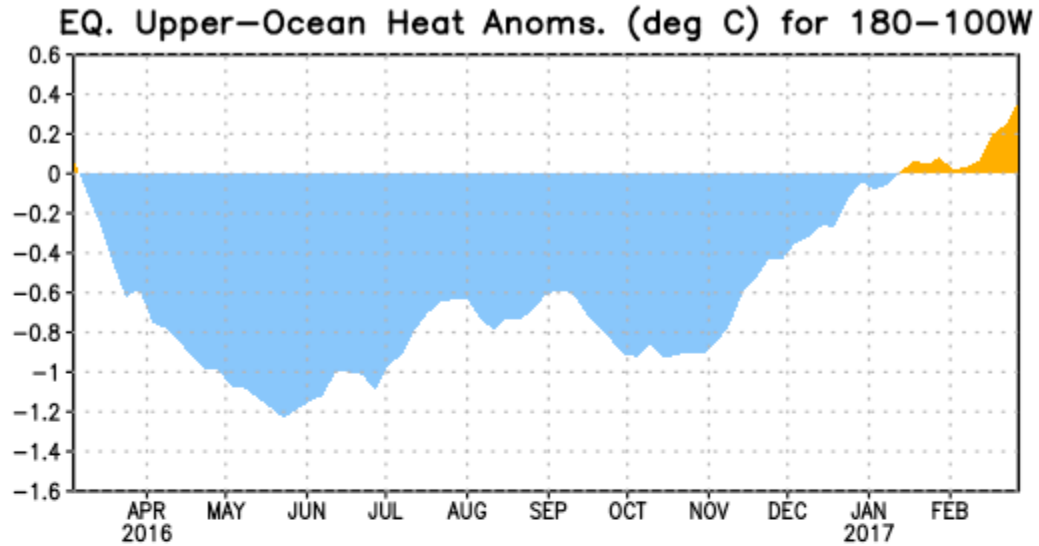


Figura 3. Anomalías del contenido calórico (en °C) en un área promediada del Pacífico ecuatorial (5°N-5°S, 180°-100°W). Las anomalías en el contenido calórico son calculadas como las desviaciones de los penta-promedios del período base de 1981-2010.

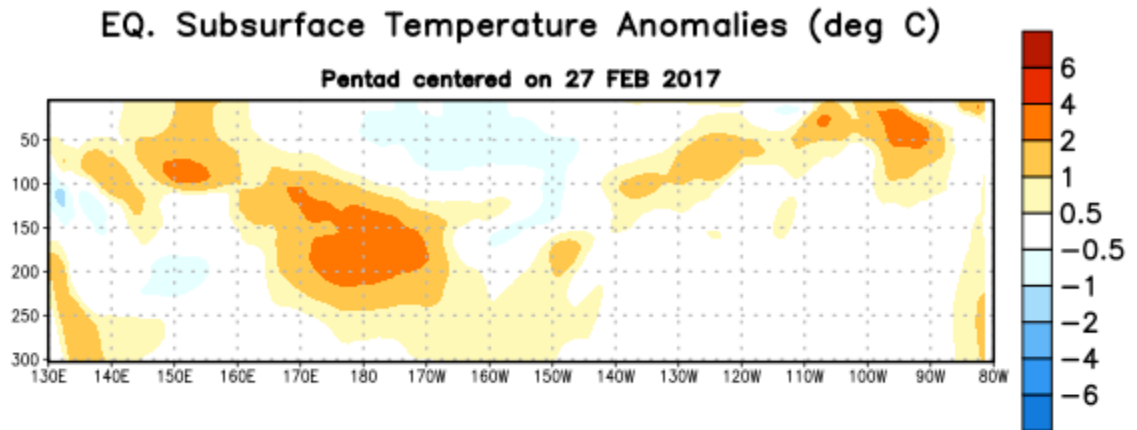


Figura 4. Anomalías de la temperatura (en °C) en un transecto de profundidad-longitudinal (0-300m) en la parte superior del océano Pacífico ecuatorial, centradas en la semana de 2 de febrero de 2017. Las anomalías son promediadas entre 5°N-5°S. Las anomalías son variaciones del penta-promedios del período base de 1981-2010.

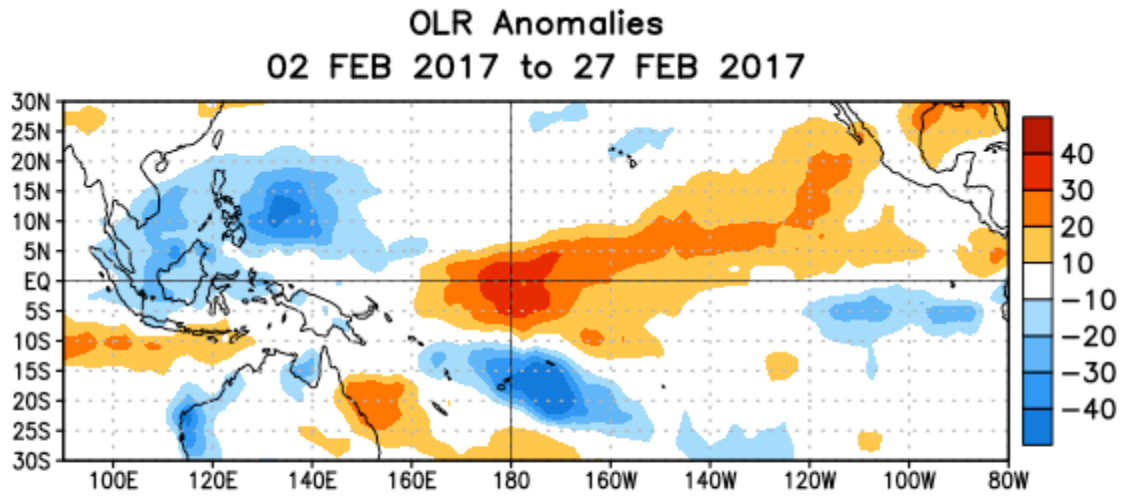


Figura 5. Anomalías del promedio de la radiación de onda larga emitida (OLR, por sus siglas en inglés) (W/m^2) durante el período del 2 -27 de febrero de 2017. Las anomalías de OLR se calculan como desviaciones de los penta-promedios del período base de 1981-2010.

Mid-Feb 2017 Plume of Model ENSO Predictions

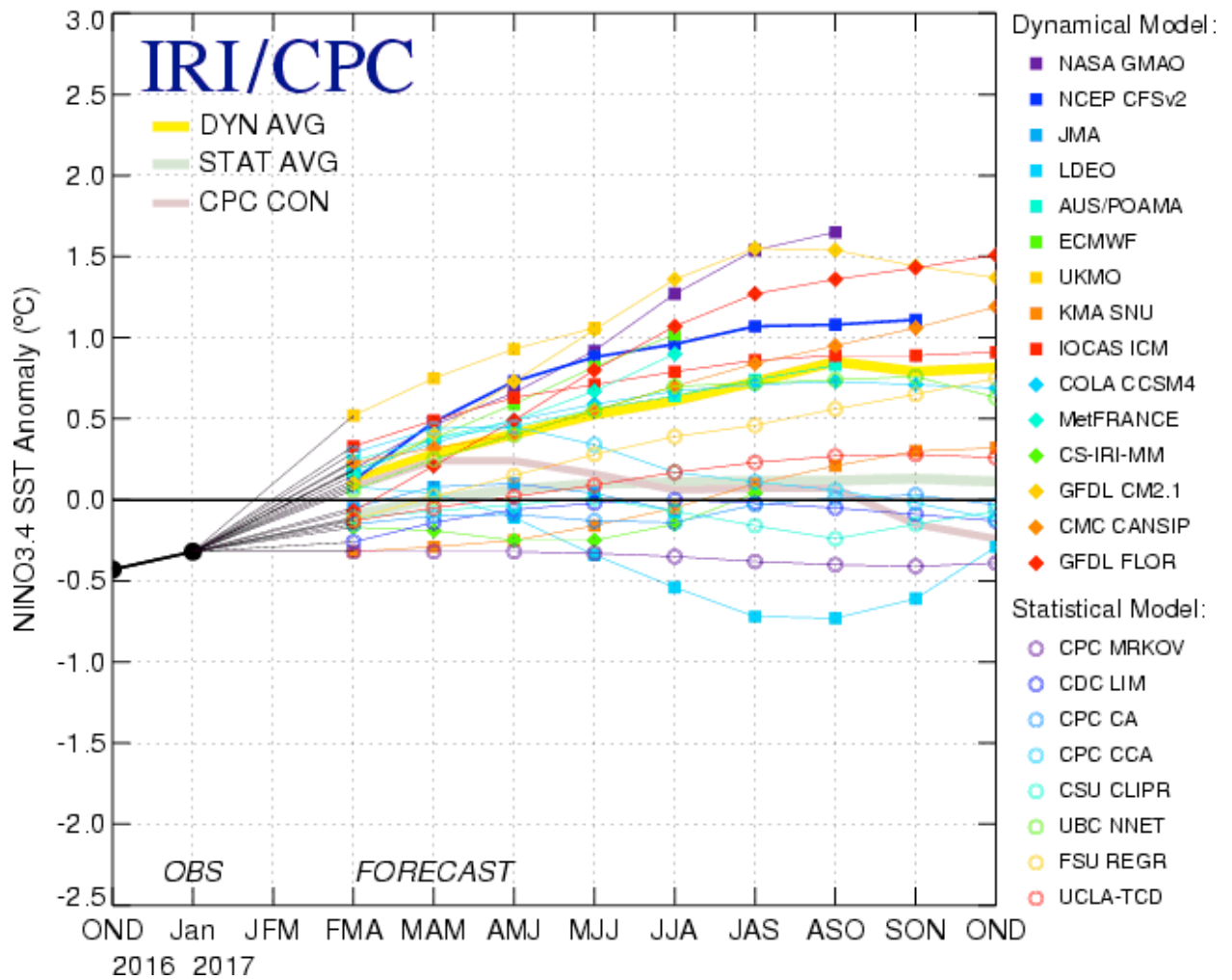


Figura 6. Pronósticos de las anomalías de la temperatura de la superficie del océano (SST) para la región de El Niño 3.4 (5°N-5°S, 120°W-170°W). Figura actualizada el 15 de febrero de 2017.